

# Inference time optimization on a machine learning model using OpenVINO and deployment of the model in a cloud environment

Andrés Ortiz Loaiza

GRADO EN INGENIERÍA DE COMPUTADORES  
FACULTAD DE INFORMÁTICA  
UNIVERSIDAD COMPLUTENSE DE MADRID

---



Trabajo Fin de Grado en Ingeniería de Computadores

Madrid, junio de 2020

Directores:

Bernabé García, Sergio  
González Calvo, Carlos



# Agradecimientos



# Índice general

Índice general	I
Índice de figuras	IV
Índice de tablas	VI
Resumen	VIII
Abstract	X
<b>1. Introducción</b>	<b>1</b>
1.1. Motivación y objetivos . . . . .	1
1.2. Estado del arte . . . . .	2
1.2.1. Concepto Deep Learning . . . . .	3
1.2.2. Redes neuronales en el tratamiento de imágenes . . . . .	5
1.3. Plan de trabajo . . . . .	6
1.4. Organización de esta memoria . . . . .	6
<b>2. Entrenamiento del modelo mediante Google Colab</b>	<b>8</b>
2.1. Modelo propuesto . . . . .	9
2.2. Entorno Google Colab . . . . .	11
<b>3. Tecnología Openvino</b>	<b>16</b>
3.1. Herramientas que lo componen . . . . .	17
3.1.1. Optimizador de modelos de deep learning . . . . .	17
3.1.2. Interfaz de inferencia de modelos de deep learning . . . . .	18
3.2. Conversión del modelo a la plataforma OpenVINO . . . . .	18

3.3. Inferencias.Tensorflow vs OpenVINO . . . . .	20
<b>4. Implementación</b>	<b>25</b>
4.1. Descripción del entorno y sus diferentes componentes . . . . .	25
4.1.1. Google Storage . . . . .	26
4.1.2. Google BigQuery . . . . .	26
4.1.3. Google Pub/Sub . . . . .	27
4.1.4. Google Compute Engine . . . . .	27
4.1.5. Google Cloud Function . . . . .	28
4.1.6. Container Registry . . . . .	28
4.2. Codificación de los servidores web . . . . .	29
4.2.1. Framework FastApi . . . . .	32
4.2.2. Framework Flask . . . . .	33
4.3. Encapsulación de entorno con Docker . . . . .	34
<b>5. Resultados experimentales</b>	<b>37</b>
5.1. Dataset usado . . . . .	37
5.2. Rendimiento en fase de entrenamiento . . . . .	38
5.3. Rendimiento en fase de inferencias . . . . .	39
5.4. Costes del proyecto . . . . .	45
<b>6. Conclusiones y trabajo futuro</b>	<b>48</b>
6.1. Conclusiones . . . . .	48
6.2. Trabajo futuro . . . . .	49
<b>Bibliografía</b>	<b>49</b>
<b>A. Introduction</b>	<b>50</b>
A.1. Motivation . . . . .	50
A.2. Objectives . . . . .	51

A.3. Organization of this memory . . . . .	52
<b>B. Conclusions and future work</b>	<b>55</b>
B.1. Conclusions . . . . .	55
B.2. Lines of future work . . . . .	56

# Índice de figuras

1.1. Encuesta sobre lenguajes de programación usados en StackOverflow 2019. . .	4
1.2. Ejemplo de perceptrón. . . . .	5
2.1. Arquitectura de paralelización de una GPU. . . . .	9
2.2. Topología de la red del modelo de redes neuronales. . . . .	12
2.3. Función de activación Relu. . . . .	13
3.1. Arquitectura de optimización de modelos con Openvino . . . . .	17
3.2. Arquitectura de tensorflow serving . . . . .	22
4.1. Arquitectura Google Cloud . . . . .	29
4.2. Arquitectura de la máquina virtual de la aplicación . . . . .	34
5.1. Rendimiento del modelo en acierto usando una gpu TeslaK80 y una configuración de entrenamiento de 175 epoch y un tamaño batch de 256. . . . .	40
5.2. Rendimiento del modelo en pérdida al entrenar con una TeslaK80 y una configuración de entrenamiento de 175 epoch y un tamaño batch de 256. . .	40
5.3. Rendimiento del modelo en acierto usando una gpu TeslaK80 y una configuración de entrenamiento de 100 epoch y un tamaño batch de 256. . . . .	41
5.4. Rendimiento del modelo en pérdida al entrenar con una TeslaK80 y una configuración de entrenamiento de 100 epoch y un tamaño batch de 256. . .	41
5.5. Rendimiento del modelo en acierto usando una gpu TeslaK80 y una configuración de entrenamiento de 200 epoch y un tamaño batch de 256. . . . .	42
5.6. Rendimiento del modelo en pérdida al entrenar con una TeslaK80 y una configuración de entrenamiento de 200 epoch y un tamaño batch de 256. . .	42



5.7. Comparativa de tiempos de inferencia con OpenVINO y Tensorflow . . . . .	43
5.8. Comparativa de tiempos de inferencia con OpenVINO y Tensorflow con dis- tinto hardware . . . . .	44
5.9. Comparativa de tiempos de inferencia con OpenVINO y Tensorflow con dis- tinto hardware y servidor web . . . . .	45
5.10. Comparativa de tiempos de inferencia con OpenVINO y Tensorflow con dis- tinto framework web . . . . .	45

# Índice de tablas

# Resumen

La observación remota de la Tierra ha sido siempre objeto de interés para el ser humano. A lo largo de los años los métodos empleados con ese fin han ido evolucionando hasta que, en la actualidad, el análisis de imágenes multiespectrales constituye una línea de investigación muy activa, en especial para realizar la monitorización y el seguimiento de incendios o prevenir y hacer un seguimiento de desastres naturales, vertidos químicos u otros tipos de contaminación ambiental.

Las imágenes satelitales en un mundo donde el machine learning y el procesamiento de datos ha avanzado tanto nos abre la posibilidad de construir modelos capaces de reconocer zonas en las que ha ocurrido un desastre natural y poder actuar en consecuencia. Con la potencia de cálculo actual podemos conseguir que el procesamiento de los datos sea en tiempo real , por lo que se pueden tomar decisiones para poder minimizar daños, distribuir equipos de emergencia y optimizar en general todos los recursos que tenemos.

Estos últimos años el campo de la ciencia de datos ha sido capaz de crear modelos precisos en sectores como banca, industria, tecnología. Pero el círculo solo puede estar completo si podemos conseguir colocar estos modelos en un entorno en el que se puedan consumir de manera productiva y ser útiles fuera del escenario de desarrollo e investigación.

Mantener toda la infraestructura hardware y software para ejecutar nuestra aplicación es costoso, de la misma manera que contratar a las personas con los conocimientos necesarios para instalar y configurar todos estos componentes. El mundo ha evolucionado de manera que ya es no necesario seguir este comportamiento y podemos optar por proveedores que facilitan todos estos componentes así como el mantenimiento de los mismos, la nube.

En este trabajo de fin de grado se lleva a cabo la optimización en tiempos de inferencia de un modelo de machine learning usado para detectar desastres naturales con Openvino a la par que se realiza la puesta a producción del en un entorno cloud de google, de manera que nuestro servicio soporte miles de peticiones por minuto.

## Palabras clave

Imágenes hiperespectrales, Openvino, Tensorflow, Docker, Google Cloud

# Abstract

The remote observation of the Earth has always been an object of interest for the human being. Over the years, the methods used for this purpose have evolved until, at present, the analysis of hyperspectral images constitutes a very active line of research, especially to monitor fires or prevent and monitoring natural disasters, chemical discharges or other types of environmental pollution.

Satellite images in a world where machine learning and data processing have advanced so much opens up the possibility of building models capable of recognizing areas where a natural disaster has occurred and be able to act accordingly.

With the current computing power we can make data processing in real time so we can made decision to minimize damage, distribute emergency teams and optimize all the resources we have. In recent years the field of data science has been able to create accurate models in sectors such as banking, industry, technology. But the circle can only be complete if we can manage to place these models in an environment where they can be consumed productively and be useful outside the development and research scenario.

Maintaining all the hardware and software infrastructure to run our application is expensive, in the same way that hiring people with the necessary knowledge to install and configure all these components. The world has evolved so that it is no longer necessary to follow this behavior and we can choose suppliers that facilitate all these components as well as their maintenance, the cloud.

In this final degree project, the optimization in inference times of a machine learning model used to detect natural disasters with Openvino is carried out at the same time that the deploy of the model in a google cloud environment, so that our service supports miles of requests per minute.

## Keywords

Hyperspectral images, Openvino, Tensorflow, Docker, Google Cloud

# Capítulo 1

## Introducción

### 1.1. Motivación y objetivos

El área del deep learning ha avanzado exponencialmente en los últimos años. Esto ha permitido que a día de hoy se pueda contar con modelos predictivos capaces de procesar imágenes y clasificarlas según sus características primarias. La consecuencia principal de este proceso es la apertura de una ventana de oportunidad a la explotación de estos modelos en un entorno real, con el objetivo de que sean cruciales a la hora de detectar incendios, terremotos, así como todo tipo de desastres naturales. El uso eficiente de estos modelos requiere una infraestructura capaz de soportar la fiabilidad necesaria en términos de robustez y velocidad. En estos casos, el procesamiento en tiempo real se vuelve algo indispensable para lograr optimizar recursos de emergencia, dirigir equipos a las zonas de desastre más afectadas y, en definitiva, prevenir los máximos riesgos posibles. Los ejes que vertebran este proyecto se sitúan en torno a dos polos: primeramente, la aceleración del tiempo de entrenamiento de un modelo de deep learning usando una GPU en el servicio de Google Colab, y en segundo lugar, la optimización del tiempo de inferencia del modelo mediante OpenVINO. Finalmente, el modelo se desplegará en un entorno cloud en el que pueda funcionar como servicio capaz de soportar miles de llamadas concurrentes. La consecución del objetivo general anteriormente mencionado se lleva a cabo en la presente memoria abordando una serie de objetivos específicos, los cuales se enumeran a continuación:

- Mejora en los tiempos de entrenamiento de un modelo de deep learning usando una GPU del servicio de Google Colab.
- Conversión de un modelo de TensorFlow a uno de OpenVINO para aumentar la velocidad de inferencia del mismo.
- Preparación de una arquitectura de Google cloud capaz de soportar tráfico concurrente en tiempos óptimos para el servicio.
- Codificación de una aplicación capaz de hacer uso de los distintos sistemas de inferencia de TensorFlow y OpenVINO.
- Codificación de una aplicación web apta para exponer todos los servicios en un entorno productivo.
- Encapsulación de los distintos entornos de producción haciendo uso de Docker.
- Despliegue de la aplicación y pruebas de carga.
- Obtención de resultados y realización de comparativas de rendimiento entre los distintos sistemas de inferencia, hardware y servidores web.

## 1.2. Estado del arte

La inteligencia artificial actualmente se compone de varias ramas tales como machine learning, natural language processing, entre otras. Una de ellas es el deep learning. Esta arquitectura de aprendizaje profundo persigue el aprendizaje y clasificación de una variedad de problemas haciendo uso de sus propios algoritmos. En la actualidad, los algoritmos de deep learning son usados para todo tipo de problemas que abarcan multitud de sectores dentro de la industria, los gobiernos y en definitiva, de la propia sociedad. La digitalización y expansión de internet provee de innumerables fuentes de datos capaces de ser procesadas y analizadas por este tipo de algoritmos, que son usadas para distintos fines. Los gobiernos

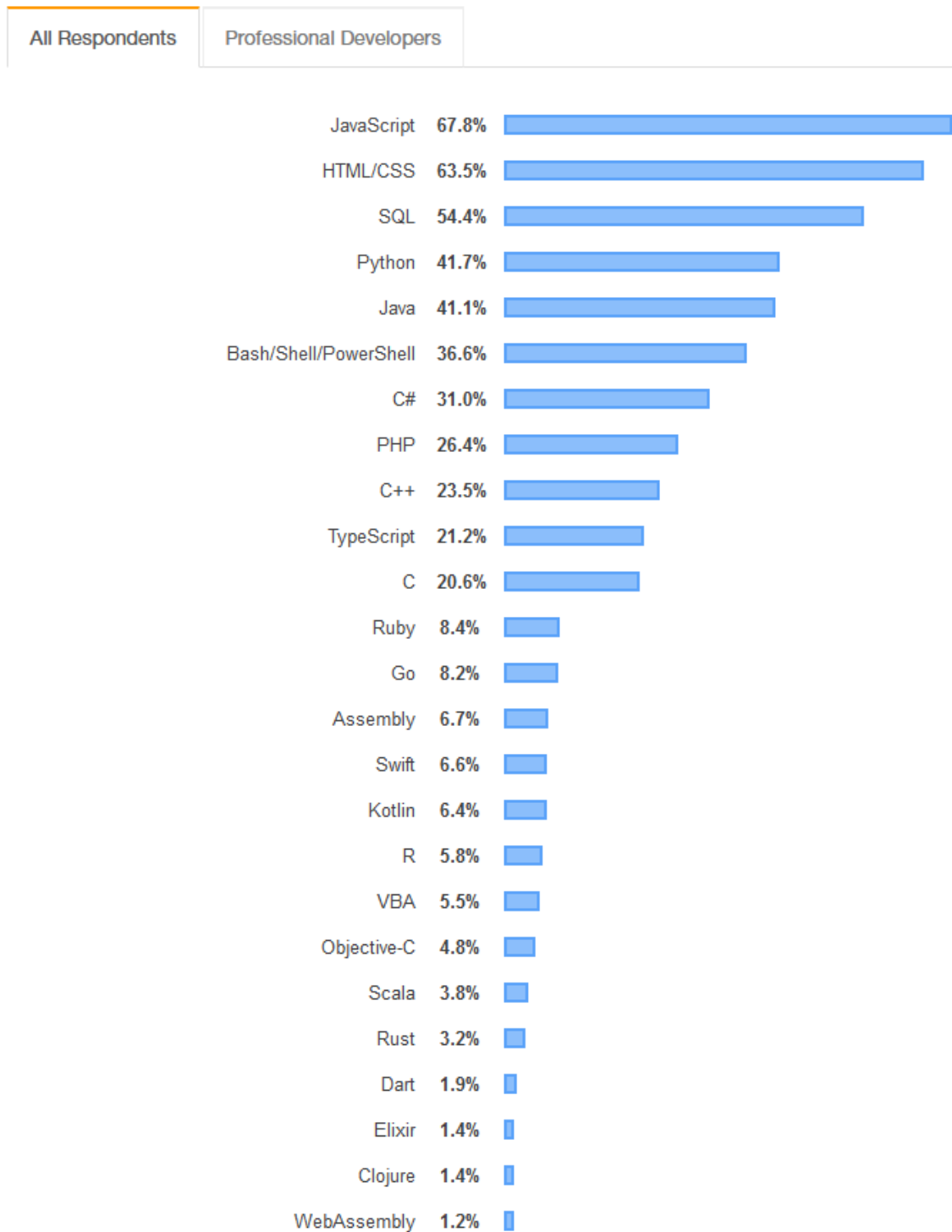


poseen sus sistemas personales de reconocimiento de imágenes para la clasificación de sus ciudadanos, sistemas de recomendación tanto para las empresas que buscan aumentar sus ventas como para bancos que buscan personas aptas para préstamos e incluso sirve como sesgo para evitar contenido indeseable en plataformas a través de la red. En general, la cantidad masiva de datos ha creado una necesidad de explotación a través de los mismos, por lo que el deep learning se sitúa como una herramienta fiable para dar valor a todas las interacciones que están ocurriendo casi de manera permanente en cada sistema tecnológico del planeta. Todo este estímulo lleva consigo la creación de miles de nuevos puestos de trabajo en el sector tecnológico dedicados en exclusiva a la aplicación de algoritmos de aprendizaje automático, de igual manera que al aumento de la enseñanza de los mismos. Esto ha abierto la posibilidad a profesionales que anteriormente no tenían un hueco claro en el sector tecnológico a ser indispensables dentro de él. Estudios como matemáticas, estadística y relacionados, se ven beneficiados ya que la capacidad de análisis y el perfil matemático que poseen son aptitudes muy valorables para realizar este tipo de tareas. Algunos lenguajes de programación menos usuales han visto impulsado su uso a raíz de este nuevo perfil de profesionales, debido a que su uso y curva de aprendizaje es mucho más sencillo que lenguajes más tradicionales como Java o C++ (ver Figura 1.1). También ha fomentado la creación de nuevas herramientas de desarrollo, como Jupyter, TensorFlow, Scikit-learn, PyTorch, todas ellas gratuitas y de código abierto.

### **1.2.1. Concepto Deep Learning**

El deep learning lleva consigo como principal actuador algoritmos que basan su estructura en redes neuronales artificiales, imitando el comportamiento que tienen las del ser humano y su sistema nervioso central. La fuerza que ha proporcionado el surgimiento del Big Data ha conseguido que tecnologías que solían funcionar con un objeto de estudio se conviertan en una práctica diaria. Una de las claves de los algoritmos de deep learning es en la capacidad de aprendizaje que reside en ellos. Esto nos brinda la posibilidad de poder

## Programming, Scripting, and Markup Languages



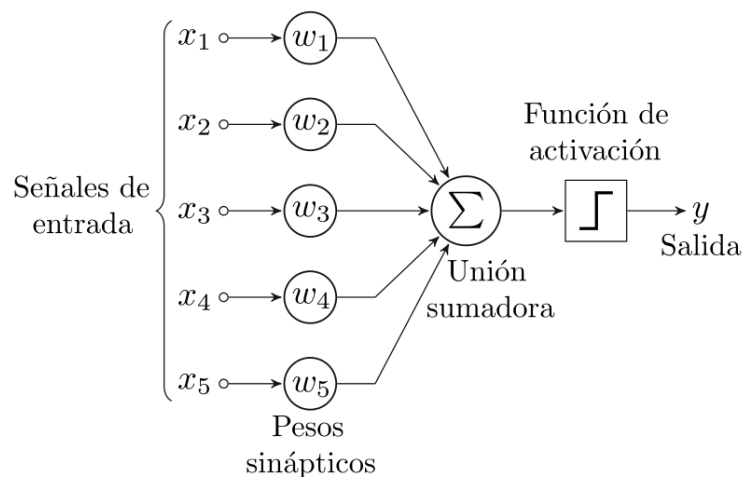
87,354 responses; select all that apply

**Figura 1.1:** Encuesta sobre lenguajes de programación usados en StackOverflow 2019.

lidar con problemas del mundo real, en el que las combinaciones de posibilidades y reconocimiento de patrones se quedan fuera de nuestros cálculos. Para poder materializar todos estos algoritmos de aprendizaje automático disponemos de servicios de grandes empresas como Google, Amazon, IBM, los cuales implementan sus propias soluciones comerciales. Pero también podemos optar por herramientas de código abierto tales como TensorFlow, una de las librerías más famosas de deep learning desarrollada por los ingenieros de Google en primera instancia y posteriormente liberada bajo licencia Apache. También disponemos de otras como PyTorch, Keras. Todas las mencionadas anteriormente fueron originalmente desarrolladas para el lenguaje de programación Python, el cual ha visto aumentado su porcentaje de uso debido a esta corriente de machine learning.

### 1.2.2. Redes neuronales en el tratamiento de imágenes

La unidad básica de procesamiento de las redes neuronales es el perceptrón (ver Figura 1.2), a partir del cual se desarrolla un algoritmo capaz de generar un criterio para seleccionar un sub-grupo a partir de un grupo de componentes más grande. Este conjunto de neuronas pasará a formar parte de las distintas capas que componen por completo la red neuronal. Cada neurona recibe una entrada, ya sea de una fuente externa o de otra neurona.



**Figura 1.2:** *Ejemplo de perceptrón.*

A partir de aquí cada neurona aplica una función de cálculo a partir de los pesos mediante la cual acaba propagando el resultado a las capas posteriores, y finalmente a la capa de salida mediante la que podremos obtener nuestra clasificación final. En este problema concreto, nos centramos en clasificar imágenes RGB, que consisten en la captura de datos de imágenes dentro de rangos de longitud de onda específicos a través del espectro electromagnético. Nuestro conjunto de imágenes pertenece a una zona parcialmente destruida por un desastre natural. El objetivo de nuestro algoritmo de deep learning es tener la capacidad de clasificar dichas imágenes dependiendo si la zona está dañada o, por el contrario, está en buenas condiciones.

### 1.3. Plan de trabajo

### 1.4. Organización de esta memoria

Teniendo presentes los anteriores objetivos concretos, se procede a describir la organización del resto de esta memoria, estructurada en una serie de capítulos cuyos contenidos se describen a continuación:

- **Entrenamiento del modelo mediante Google colab:** Se define el proceso de entrenamiento y aumento de la velocidad del mismo usando la plataforma Google colab.
- **Tecnología OpenVINO:** Se define el propósito de la herramienta de Intel OpenVINO así como la transformación de un modelo de TensorFlow para que sea compatible con dicha herramienta.
- **Arquitectura Cloud propuesta:** Se presenta la arquitectura de Google Cloud diseñada para soportar toda la infraestructura de la aplicación y se explica la puesta en producción del servicio.
- **Resultados experimentales:** Se preparan los distintos frameworks web que van a

ser puestos a prueba haciendo uso del lenguaje de programación Python, mostrando el rendimiento obtenido en las fases de entrenamiento y de inferencias. Además, se presentará el cálculo aproximado de los costes del proyecto.

- **Conclusiones y trabajo futuro:** Se presentan las conclusiones obtenidas mediante las pruebas de carga y también algunas posibles líneas de trabajo futuro que se pueden desempeñar en relación al presente trabajo.

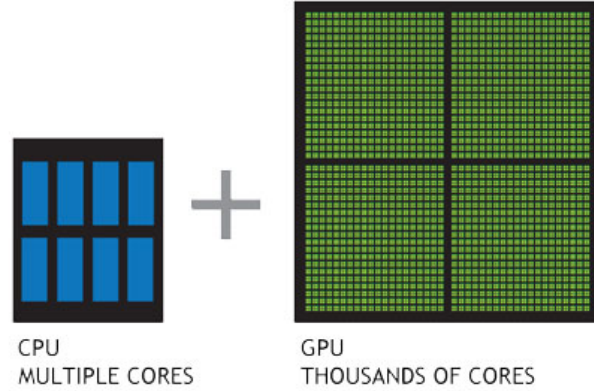
## Capítulo 2

# Entrenamiento del modelo mediante Google Colab

Dentro del entrenamiento de modelos Deep Learning, la velocidad es uno de los parámetros fundamentales. Los modelos pueden requerir entradas de tamaño masivo en las que la capacidad de cómputo se torne clave para acelerar el proceso; esto permite enfocarse plenamente en la mejora de rendimiento del modelo planteado. El objetivo es evitar la posible espera que pueda producir volver a entrenar el mismo con distintos parámetros. Con ello, se puede reajustar constantemente el modelo para encontrar el punto óptimo de manera ágil. En este trabajo se va a entrenar el modelo planteado haciendo uso del framework de código abierto de TensorFlow<sup>1</sup>. Éste incluye una API de Deep Learning llamada Keras, que será la que utilicemos. El tipo de operaciones que requiere nuestra aplicación en la parte del tratamiento de imágenes y los propios procedimientos que realizan las redes neuronales para hacer sus cálculos son operaciones matriciales. Nuestro objetivo será aprovechar al máximo el rendimiento que una GPU puede aportar en este tipo de operaciones, principalmente por su arquitectura de paralelización, idónea para este tipo de trabajo. La ventaja que aporta frente a la CPU es la capacidad de cómputo con un mayor número de núcleos o cores (ver Figura2.1), gracias a su conectividad por PCI express y el ancho de banda que esta proporciona.

---

<sup>1</sup><https://www.tensorflow.org/>



**Figura 2.1:** *Arquitectura de paralelización de una GPU.*

## 2.1. Modelo propuesto

En esta parte del trabajo se pretende conseguir la máxima velocidad de entrenamiento posible manteniendo unos niveles de precisión elevados en la predicción. Nuestro modelo tiene como cometido primordial poder clasificar distintas imágenes según el estado del terreno que aparece en la fotografía, siendo las opciones: terreno dañado y terreno en buenas condiciones. Para ello, disponemos de un dataset de 268 imágenes multiespectrales (describir dataset, procedencia). Una imagen multiespectral es la que captura datos de imágenes dentro de rangos de longitud de onda específicos a través del espectro electromagnético. Como framework principal para realizar el entrenamiento nos ayudaremos de TensorFlow que incluye la librería de deep learning Keras, la cual simplifica mucho la implementación de este tipo de algoritmos de aprendizaje automático, debido a que sus objetos y funciones están contruidos de una manera intuitiva. La distribución a efectuar sobre el conjunto de datos en entrenamiento y test es del 70 y 30 por ciento respectivamente. Para la construcción de este algoritmo haremos uso de las siguientes capas, sobre las que TensorFlow nos da una API para tener control total sobre su configuración.

- **Conv2D:** Capa convolucional cuyo principal objetivo es extraer características de la imagen de entrada o partes de la misma. El término 2D se refiere al movimiento del

filtro, el cuál es un parámetro de entrada de este tipo de capas. El filtro atraviesa la imagen en dos dimensiones. Tiene como requisitos una imagen en tres dimensiones, el número de filtros que vamos a aplicar sobre la imagen. Aplicaremos sobre esta capa una configuración de 64 filtros y un tamaño de Kernel de 3x3 ya que nuestras imágenes son de 128x128 píxeles para ayudar a nuestro modelo a mejorar su aprendizaje con filtros de mayor tamaño.

- **Activación Relu (Recitified Linear Unit):** En redes neuronales, una función de activación es la responsable de transformar la entrada. Sus principales funciones son detectar posibles correlaciones entre dos variables distintas dependiendo de sus valores y ayudar al modelo a tener en cuenta funciones no lineales, lo que significa, que la red neuronal es capaz de realizar microajustes para capturar relaciones no lineales entre entradas y salidas. Como podemos observar en la figura 2.3 la función de activación Relu se comporta devolviendo un 0 para valores de entrada negativos y en caso contrario devolviendo el propio valor de entrada. Esta función de activación conserva los valores que contienen algún patrón en la imagen y los transfiere a la siguiente capa, mientras que los pesos negativos no son importantes y son establecidos con el valor 0. Mientras que otras funciones de activación como la función Sigmoide o Tanh modifican todos los valores de entrada, la función Relu mantendrá los valores de peso para las capas posteriores.
- **MaxPooling2D:** Es una capa que sigue un proceso de discretización basado en muestras, su objetivo es reducir la muestra de una representación de entrada mediante la reducción de sus dimensiones. En nuestro modelo aplicaremos una reducción a matrices de 2x2.
- **Dropout:** Es una capa cuyo cometido es ignorar ciertas neuronas de forma aleatoria para no incluirlas en el entrenamiento, de modo que las neuronas restantes serán las encargadas de representar las predicciones de la red. De esta manera también



reducimos la complejidad de nuestra red y la posibilidad de sobreentrenamiento.

- **Flatten:** Capa de aplanamiento usada para reducir a uno el número de dimensiones de nuestra matriz de entrada.
- **Dense:** Es una de las capas más utilizadas en la API de keras, es la manera de efectuar multiplicaciones matriciales.
- **Optimizador Adam:** Es un algoritmo de optimización diseñado especialmente para redes neuronales, este aprovecha el poder de los métodos de tasas de aprendizaje adaptativo para encontrar tasas de aprendizaje individuales para cada parámetro.

En la Figura 2.2 podemos observar el conjunto de capas utilizado para crear la topología de la red de nuestro modelo.

Además, realizaremos algunas optimizaciones a nivel de hardware para acelerar el proceso de forma general.

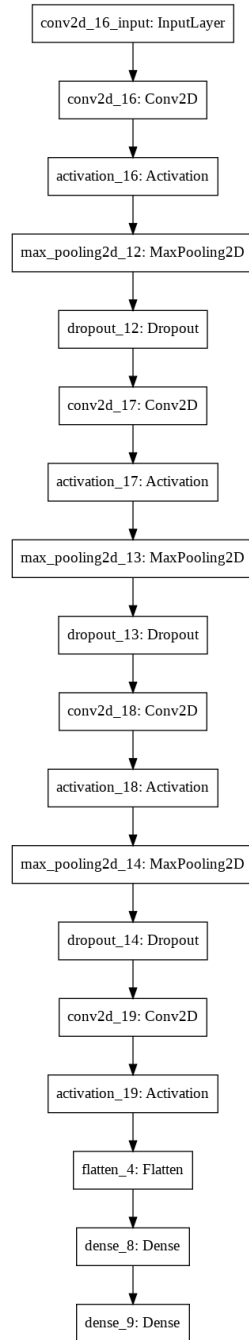
- **Uso de variables de 16 bits en vez de 32 bits:** Una de las posibilidades que nos brinda el uso de una GPU es reducir a la mitad el uso en memoria de las variables del proceso. Usaremos esto siempre y cuando no afecte a la calidad de la predicción.
- **Uso del compilador XLA:** El compilador XLA (Accelerated Linear Algebra) optimiza el grafo de nuestro modelo de manera específica haciendo uso de la GPU.
- **Valores altos del parámetro de entrenamiento BatchSize:** Gracias a la capacidad de cómputo de nuestra tarjeta gráfica podemos permitirnos el uso de valores altos en este parámetro de entrenamiento.

## 2.2. Entorno Google Colab

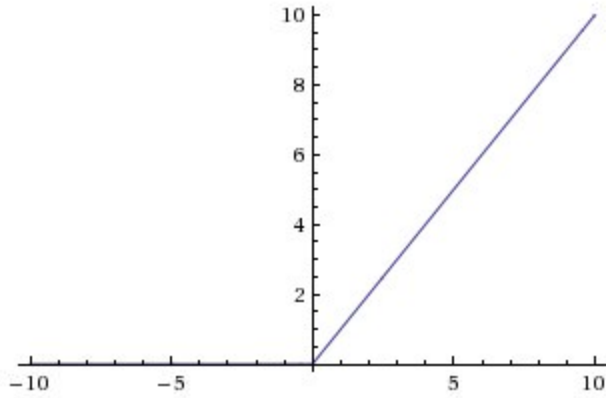
La plataforma de Google Colab<sup>2</sup> es un servicio gratuito de Google, mediante el cual podemos ejecutar e instalar librerías del lenguaje de programación Python. Una de las grandes

---

<sup>2</sup><https://colab.research.google.com/notebooks/intro.ipynb>



**Figura 2.2:** *Topología de la red del modelo de redes neuronales.*



**Figura 2.3:** *Función de activación Relu.*

ventajas de trabajar con este entorno es que no necesitamos configuración ninguna, se ejecuta de forma íntegra en el navegador sin necesidad de instalar nada previamente y podemos compartir nuestro trabajo con otras personas. Estas características permiten a Google Colab convertirse en un entorno muy válido para personas que están dando sus primeros pasos en este área de la inteligencia artificial, pero haciendo uso de unas herramientas profesionales. En este trabajo haremos uso de la tarjeta gráfica Tesla K80. Las características primarias de nuestra principal unidad de cómputo son las siguientes :

- 4992 núcleos de NVIDIA CUDA con diseño de dos GPU.
- Hasta 2,91 teraflops de rendimiento en operaciones de precisión doble con NVIDIA GPU Boost.
- 24 GB de memoria GDDR5.
- 480 GB/s de ancho de banda de memoria agregado.
- Hasta 8,73 teraflops de rendimiento en operaciones de precisión simple con NVIDIA GPU Boost.

El uso de este tipo de herramientas en esta plataforma es extrapolable a otras nubes sin las restricciones en cuanto al número de unidades de procesamiento que necesitamos, la

interoperabilidad de sus elementos con otros componentes externos, tales como servidores o repositorios de código, así como la configuración explícita de cada uno de los entornos de ejecución. Una de las principales ventajas que tiene poder usar un entorno como Google Colab es que el servicio se ejecuta de manera íntegra online, de modo que toda la carga computacional reside en la herramienta de Google y no en nuestro computador. Esto permite trabajar de manera fluida realizando otro tipo de cometidos en nuestra máquina, o simplemente ejecutar un proceso para el que no tenemos suficiente potencia disponible.



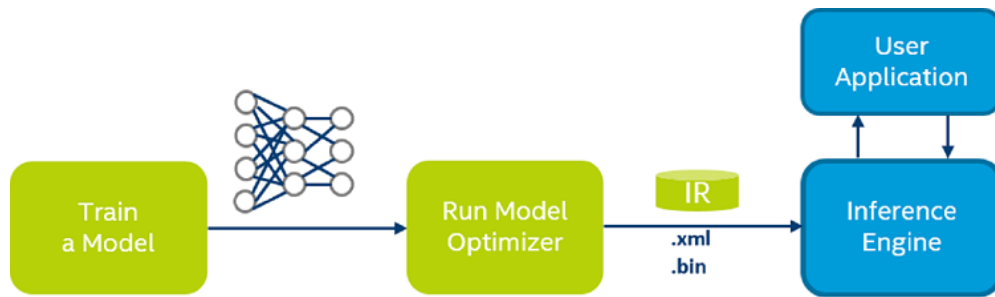
## Capítulo 3

# Tecnología Openvino

Openvino es un conjunto de herramientas multi plataforma desarrolladas por Intel, que facilita la transición entre los entornos de entrenamiento y producción de nuestro modelo de aprendizaje profundo. A pesar de estar desarrollada por una empresa comercial como Intel, pertenece al conjunto de aplicaciones de código abierto, de modo que se puede visualizar su código fuente, reportar fallos e incluso realizar aportaciones. Podemos visualizar el diseño y el código de la aplicación en su repositorio oficial de Github <sup>1</sup>. El cometido principal de esta aplicación es la optimización del tiempo de inferencia de un modelo de Deep Learning previamente entrenado. Para ello, Openvino dispone de su propio formato de definición de modelos. Estos archivos son los que procesa su propia red de inferencia multi plataforma, ya que se encuentra preparada para poder trabajar con los mismos de manera concurrente, aprovechando así toda la potencia de los procesadores o GPU actuales. En la siguiente figura 3.1 se puede observar el flujo de trabajo que se ha seguido en este trabajo, haciendo uso de la herramienta Openvino. En primer lugar, optimizaremos la topología de nuestro modelo a uno preparado para ser procesado por la red de inferencia de alto rendimiento de Openvino. Finalmente, nuestra red de inferencia será la que realice el trabajo de clasificación en el entorno de producción de nuestra aplicación.

---

<sup>1</sup><https://github.com/openvinotoolkit/openvino>



**Figura 3.1:** *Arquitectura de optimización de modelos con Openvino*

### 3.1. Herramientas que lo componen

Esta tecnología desarrollada por intel tiene por objetivo principal la optimización de modelos de redes neuronales convolucionales para potenciar su velocidad de inferencia, mediante las distintas herramientas que lo componen. Openvino es capaz de soportar distintos hardwares (FPGA, Intel movidius, procesamiento por GPU) y también varios sistemas operativos (Mac Os, Linux o Windows). Las características principales de esta aplicación se resumen en dos puntos :

- **Optimizador de modelos de deep learning:** Aplicación de interfaz de línea de comando, la cual usa como base modelos de frameworks populares como Caffe, Tensor-Flow, MXNet, Kaldi y ONNX para convertirlos a un modelo optimizado de Openvino.
- **Interfaz de inferencia de modelos de deep learning:** API de alto rendimiento multi plataforma para realizar la inferencia de manera rápida.

#### 3.1.1. Optimizador de modelos de deep learning

Para poder realizar la optimización de nuestro modelo de deep learning previamente entrenado, se necesita el binario que contiene la topología de la red del modelo. Una vez el optimizador de Openvino recibe como argumento nuestro modelo procede a realizar una conversión de cada capa interna de la red a una nueva capa. Esta nueva capa, ya convertida al formato de Openvino, conserva los pesos de la red anterior. Sin embargo, la definición

de la misma está preparada para que la aplicación de inferencia de Openvino pueda leerla correctamente. La herramienta de Openvino proporciona de manera genérica distintos scripts para realizar esta conversión. Se incluyen distintos scripts para los diferentes frameworks de Deep Learning más actuales, codificados en python y a los que se puede modificar su código fuente, aunque en principio no es necesario porque ya vienen preparados para funcionar.

### **3.1.2. Interfaz de inferencia de modelos de deep learning**

Con nuestro modelo y su topología convertida a un formato válido de Openvino, ya tenemos todo lo necesario para poder realizar clasificaciones con la interfaz de inferencia de Openvino. La optimización de inferencia se produce en este punto, donde cada capa de nuestro modelo original es procesada por la aplicación de inferencia en un lenguaje de bajo nivel, optimizado para realizar operaciones vectoriales bajo total control del programador. El lenguaje empleado para la codificación de la aplicación es C++ pese a que el programa pueda ser utilizado también en Python. Esto se debe al uso de su API, que traduce las peticiones realizadas en Python al core de la interfaz, que es C++ puro. Todas las capas usadas en este proyecto son compatibles de manera directa con las predefinidas por la interfaz de inferencia. Entre otras cosas, Openvino nos da la posibilidad de añadir capas personalizadas, con el inconveniente de que deben ser programadas por el usuario de manera explícita en C++ para hacerlas compatibles con el resto de la aplicación. Y, por supuesto, mantener estas nuevas capas a lo largo de las distintas actualizaciones y posibles cambios que pueda sufrir la aplicación.

## **3.2. Conversión del modelo a la plataforma OpenVINO**

Para realizar la conversión del modelo, en primer lugar es necesaria la exportación del original de tensorflow a un formato compatible con la red de optimización de modelos de Openvino. La serialización por defecto de un modelo de tensorflow puede incluir de manera independiente :



**Listing 3.1:** *Comando de terminal para convertir un modelo tensorflow a uno de openvino.*

```
1 mo_tf.py --input_model model.pb --input_model_is_text -b 1
```

---

- Un punto de control TensorFlow que contiene los pesos del modelo.
- Un prototipo 'SavedModel' que contiene el grafico subyacente de Tensorflow. Separa los graficos que se guardan para prediccion (servicio), capacitacion y evaluacion. Si el modelo no se compilo antes, solo el grafico de inferencia se exporta.
- La configuracion de arquitectura del modelo, si esta disponible

Los métodos exactos para la serialización del modelo varían según la versión de tensorflow, en cualquier caso la metodología de conversión exacta utilizada para este proyecto se puede encontrar en el repositorio de código fuente de este trabajo en Github : <https://github.com/A-Ortiz-L/multispectral-imaging-cnn-final-degree-work> Este modelo de Openvino va a servir tanto de punto de partida para la optimización del mismo como para su uso directo en el servicio personalizado de tensorflow para desplegar modelos en producción. Una vez exportado el modelo de deep learning al formato estándar de tensorflow tendremos a nuestra disposición los ficheros necesarios para realizar la transformación de estos al formato de Openvino. Para realizar esta operación se hace uso de la herramienta de Optimización de modelos, en concreto, con el script específico de tensorflow, cuyo nombre es `mo_tf.py`

Este código fuente es ejecutado en la línea de comandos del sistema operativo correspondiente con los siguientes parámetros de entrada en la línea de comandos.

En este comando especifica con el flag `-input_model_is_text` que nuestro fichero no está codificado en código binario, por lo que es texto plano. Esta opción es totalmente configurable y depende del proceso de exportación. Se ha encontrado útil la opción de exportación a texto plano ya que de esta manera se puede observar la arquitectura de la red y los pesos pertenecientes a cada capa. Configuramos también el flag `-b`, esta opción

determina el tamaño del batch que queremos especificar para la conversión, seleccionamos 1 porque en las entradas de nuestra red neuronal pueden propagarse valores negativos, los cuales no son válidos para su procesamiento en Openvino.

### 3.3. Inferencias.Tensorflow vs OpenVINO

Como se ha mencionado anteriormente tensorflow posee su propio sistema de inferencia preparado para su uso productivo en un entorno real. Esta sistema se llama tensorflow serving, el cual incorpora un servidor codificado mediante el patrón diseño api rest, de modo que las peticiones de inferencia se realizan al servidor por medio del protocolo de transmisión de datos http. La aplicación de tensorflow está diseñada para el escalado tanto en el número de modelos para los que puede recibir inferencias y sus versiones como para la escalabilidad en capacidad de cálculo. El escalado de cálculo está preparado para funcionar en una arquitectura cluster, en este caso un cluster de contenedores como es kubernetes, por lo que el servidor puede ser encapsulado en su totalidad en un contenedor de docker. En este trabajo se ha trabajado con una versión encapsulada de docker, pero no con la extensibilidad del escalado con kubernetes. La unidad de cálculo principal del sistema de inferencia también es configurable, permitiendo así el uso tanto de cpu como de gpu. Si se usa la opción de contenedores docker configurando una gpu es necesario configurar de manera explícita este entorno. En la siguiente figura podemos observar el diseño de la arquitectura de la aplicación [3.2](#) Una de las ventajas frente a usar el sistema de inferencias clásico de tensorflow es que la aplicación está preparada y optimizada para recibir tanto peticiones en streaming como en batch. Adicionalmente reducimos el tamaño de las librerías a instalar al mínimo necesario para realizar las inferencias y configurar el servidor, por lo que la solución es más ligera y portable, evitando así instalar todo el sistema de construcción de algoritmos y demás artefactos que incorpora la librerías de tensorflow para construir redes neuronales. La inicialización del servidor y los métodos necesarios para realizar la petición de inferencia se codifican de la siguiente manera :

**Listing 3.2:** *Clase de Tensorflow de la aplicación del trabajo.*

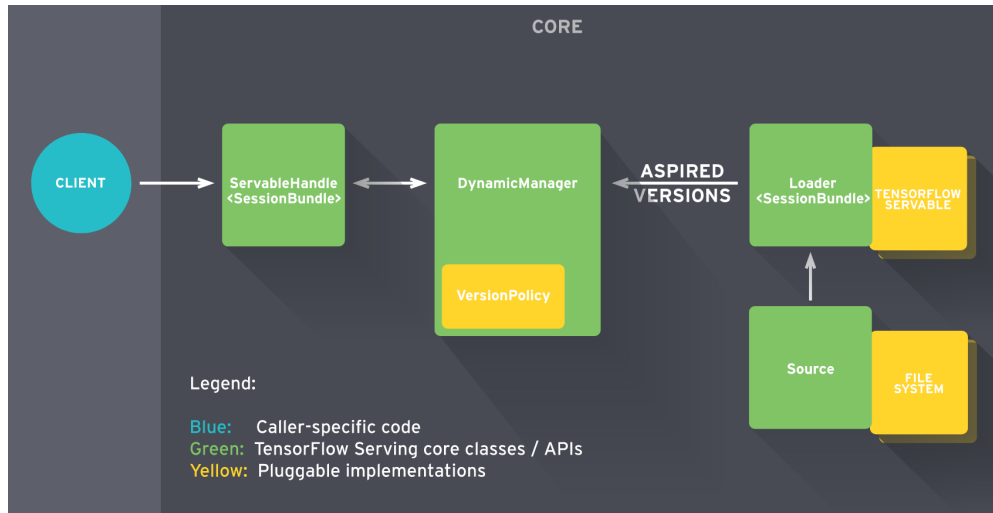
---

```
1
2
3
4 class TensorflowNetwork:
5     def __init__(self):
6         self.model_uri = 'http://localhost:8501/v1/models/model:predict'
7         self.init_tensorflow_serve()
8
9     @staticmethod
10    def shape_image(file_route):
11        img_array = cv2.imread(file_route, cv2.IMREAD_GRAYSCALE)
12        new_array = cv2.resize(img_array, (128, 128))
13        img = new_array.reshape(-1, 128, 128, 1) / 255.0
14        img = np.float32(img).tolist()
15        return img
16
17    def process_image(self, file_route) -> Tuple[bool, float]:
18        start = time.time()
19        image = self.shape_image(file_route)
20        predict = self.network_request(image)
21        return predict, (time.time() - start)
22
23    def network_request(self, image) -> bool:
24        headers = {"content-type": "application/json"}
25        data = json.dumps({"signature_name": "serving_default", "instances": image})
26        res = requests.post(self.model_uri, data=data,
27                            headers=headers)
28        predictions = json.loads(res.text)['predictions']
29        predict = True if predictions[0][0] >= 0.5 else False
30        return predict
31
32    @staticmethod
33    def init_tensorflow_serve():
34        os.system('tensorflow_model_server '
35                  '--rest_api_port=8501 --model_name=model '
36                  '--model_base_path=/app/model &')
```

---

En la inicialización de la clase arrancamos el servidor rest, el cual funcionará de manera transparente para el usuario de nuestra aplicación, ya que el mismo se ejecuta en la red local de nuestro servidor principal

Por otro lado, openvino también incorpora en su conjunto de herramientas un sistema de



**Figura 3.2:** *Arquitectura de tensorflow serving*

inferencia optimizado. Al igual que el sistema de inferencia de tensorflow, Openvino también puede configurar tanto cpu como gpu para realizar sus cálculos. La aplicación de inferencia de Openvino usada en este trabajo se codifica de manera íntegra haciendo uso del lenguaje de programación python, por lo que el diseño software de este servicio y el procesamiento de las imágenes se codifica de la siguiente manera en el repositorio del trabajo.

**Listing 3.3:** *Clase de Openvino de la aplicación del trabajo.*

```

1  class OpenVinoNetwork:
2  def __init__(self):
3      self.plugin = IEPlugin(device='CPU')
4      self.net = IENetwork(model=f'{pickle_dir}model.xml',
5                          weights=f'{pickle_dir}model.bin')
6      self.exec_net = self.plugin.load(network=self.net)
7
8      self.input_blob = next(iter(self.net.inputs))
9      self.out_blob = next(iter(self.net.outputs))
10     self.net.batch_size = 1
11     self.image_shape = 128
12
13     def process_image(self, image_path) -> Tuple[bool, float]:
14         start = time.time()
15         image = self.shape_image(image_path)
16         res = self.network_request(image)
17         return res, time.time() - start
18

```

```

19     def shape_image(self, file_route):
20         image = cv2.imread(file_route, cv2.IMREAD_GRAYSCALE)
21         image = cv2.resize(image, (self.image_shape, self.image_shape))
22         image = image.reshape(self.image_shape, self.image_shape) / 255.0
23         return image
24
25     def network_request(self, image) -> bool:
26         res = self.exec_net.infer(inputs={self.input_blob: image})
27         res = res[self.out_blob]
28         res = False if res < 0.5 else True
29         return res

```

---

En la inicialización de la clase se lee el fichero ya optimizado del modelo de deep learning, también se inicia la clase perteneciente a la api de inferencia de Openvino que se encarga de realizar las inferencia. Se configuran métodos específicos para transformar la imagen a las dimensiones correspondientes y para hacer la petición a la red de inferencia. La potencia de este modelo reside en la optimización que realiza la red en un lenguaje de bajo nivel, centrándose así en reducir los tiempos de inferencia.

En general, la aplicación de tensorflow es más compleja a nivel de software, permitiendo su escalado en entornos de producción de manera muy simple. Ambas soluciones implementan tecnologías de contenedores mantenidas de manera oficial por los fabricantes, por lo que el uso de Docker es la mejor opción para transportar nuestras redes de inferencia a cualquier sistema o dispositivo hardware. En este punto, Openvino implementa de manera concreta soluciones para FPGA e intel movidius, por lo que las opciones de portabilidad son más amplias en esta tecnología.



# Capítulo 4

## Implementación

La implementación de la aplicación y la puesta en producción de esta se materializa en un entorno cloud, en concreto Google Cloud Platform. Los servicios que proporciona Google Cloud<sup>1</sup> son de especial utilidad para el problema debido a que muchos de ellos son mantenidos y actualizados por la propia plataforma, por lo que no hay que dedicar especial esfuerzo a configurar estos servicios, más que la primera vez que vayamos a utilizarlos o cuando se quiera modificar cualquier parámetro de configuración. Otra de las grandes ventajas de usar este tipo de implementación cloud es que podemos escalar nuestras aplicaciones casi de manera infinita según la demanda de nuestra aplicación. A diferencia del resto de aplicaciones mencionadas hasta el momento, los servicios de Google son de pago, en muchos de ellos existe una modalidad gratuita pero los recursos de estas están limitados en su capacidad de trabajo o en el tiempo que se pueden usar.

### 4.1. Descripción del entorno y sus diferentes componentes

Las diferentes piezas que constituyen nuestra arquitectura cloud son las siguientes.

---

<sup>1</sup><https://cloud.google.com/>

#### 4.1.1. Google Storage

Es el sistema de almacenamiento de Google. Su objetivo dentro de la aplicación es poder ser utilizada como sistema de copia de seguridad de todas las imágenes que se vayan procesando, así como también de disparador para procesar dicha imagen en el pipeline del proceso principal y poder clasificarla, ya que el servicio incorpora eventos automáticos cada vez que un archivo se ha descargado, subido o modificado. Esta solución es la principal entrada de datos de la aplicación, por lo que nadie sin una clave de autenticación específica del proyecto puede subir archivos. Las características principales que se han encontrado en el uso de esta aplicación para el trabajo son :

- Escalabilidad prácticamente infinita en el volumen de almacenamiento de los archivos.
- Posibilidad de configurar distintas ubicaciones o múltiples para almacenar los datos, de modo que se pueden tener réplicas del historial en distintas partes del mundo de manera simultánea. La replicación de los nodos a través de las distintas ubicaciones y su consistencia es una ventaja totalmente gestionada por Google.
- Opción de carga en paralelo, la cual ha sido utilizada para los benchmark de la aplicación.
- Encriptación de los datos y restricción de los accesos a los archivos de forma individual o colectiva.
- Interoperabilidad con el resto de servicios cloud.

#### 4.1.2. Google BigQuery

Es una base de datos columnar y distribuida mantenida por Google, de modo que no hay que configurar su funcionamiento interno. En la aplicación de este trabajo BigQuery funciona como herramienta de análisis y exploración de los resultados obtenidos en las distintas pruebas de carga. Todos los conjuntos de datos de esta base de datos han sido



configurados en Europa para disminuir la latencia lo máximo posible. Las razones principales de su uso son :

- Capacidad de análisis del orden de Petabytes en cuestión de segundos debido a los múltiples nodos que ejecutan las cargas de trabajo de manera distribuida.
- Posibilidad de almacenar los distintos conjuntos de datos en ubicaciones distintas, reduciendo así la latencia dependiendo del sitio donde se ejecuten los trabajos.
- Soporte para la ingesta de datos en tiempo real.
- Acceso a distintas API en varios lenguajes de programación.
- Uso de SQL estándar como lenguaje de consulta.

#### **4.1.3. Google Pub/Sub**

Es un sistema de colas de mensajería diseñada para eventos, está basado en el patrón de diseño productor/consumidor. En esta arquitectura cloud servirá de hilo conductor para las distintas partes de la aplicación cada vez que se produzca un evento como el de una nueva carga de imagen o la petición al servidor para realizar la clasificación. Sus características se pueden enumerar en :

- Se pueden configurar distintas colas de mensajes, separando así de manera lógica los eventos de la aplicación.
- Este tipo de eventos está pensado para ser consumido en tiempo real, con la mínima latencia posible.
- Soporte para la ingesta de datos en tiempo real.

#### **4.1.4. Google Compute Engine**

Es el servicio principal de Google para proporcionar máquinas virtuales totalmente configurables, tanto en su capacidad de cálculo seleccionando el tipo de procesador, gpu y

memoria ram que se necesite, como en el entorno en el que se va a ejecutar la aplicación, ya sea docker o las distintas distribuciones de sistemas operativos. Este servidor usará como aplicación principal una imagen de docker almacenada en el registro de contenedores. Este instrumento será el principal ejecutor de la aplicación, procesando y clasificando las nuevas imágenes que se carguen en el sistema de almacenamiento y volcando el resultado a la base de datos.

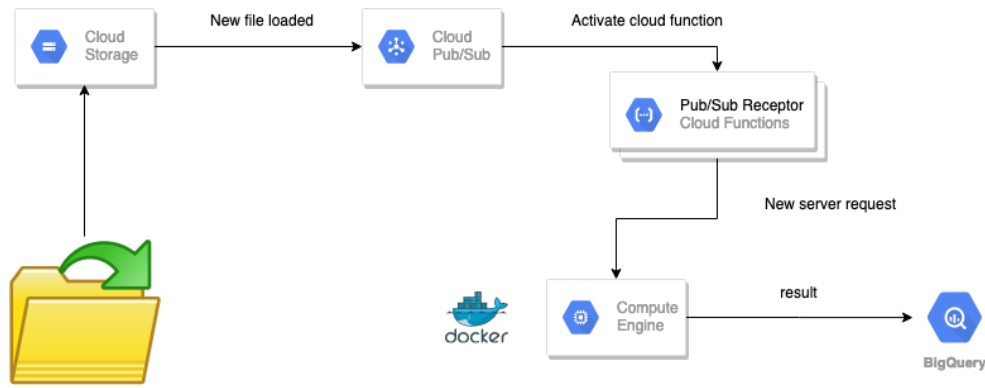
#### **4.1.5. Google Cloud Function**

Este sistema nos permite ejecutar una pequeña porción de código en el mínimo tiempo posible en una máquina virtual activada por eventos. Estas máquinas escalan bajo demanda y no tienen que encenderse o apagarse cada vez que reciben una petición, por lo que siempre y están disponibles y no hay apenas latencia. En esta aplicación servirán de puente entre el volcado de una imagen al sistema de almacenamiento y el procesamiento de la petición al servidor con la información y metadatos correspondientes para realizar la clasificación.

#### **4.1.6. Container Registry**

Dado que todo el desarrollo de la aplicación y el versionado de esta ha sido efectuado mediante docker se ha usado un repositorio de imágenes para el almacenamiento y tagueado de estas. En este repositorio se almacenan las distintas imágenes de docker tanto para open-vino como para tensorflow, ya que se han separado lógicamente para optimizar el tamaño de la imagen origen que tiene cada una de las aplicaciones.

En la siguiente figura [4.1](#) podemos observar una imagen completa de la arquitectura mencionada anteriormente y el flujo de trabajo que seguiría una imagen desde que es volcada en el sistema de almacenamiento hasta que su clasificación es almacenada en la base de datos para su análisis.



**Figura 4.1:** *Arquitectura Google Cloud*

## 4.2. Codificación de los servidores web

Con el objetivo de poder procesar todas las peticiones y recoger todos los metadatos necesarios para el su posterior análisis se necesita codificar un servidor web que realice todo este trabajo. Para ello se ha elegido, como anteriormente, el lenguaje de programación Python debido a la creciente comunidad actual en el mundo de la informática y el desarrollo software, lo que hace que el nivel de información sobre desarrollo con este lenguaje sea significativamente más alto que otros lenguajes. Se ha empleado un paradigma de programación orientado objetos debido a la organización que proporciona con aplicaciones de un tamaño considerable y la dotación de integridad que facilita a los distintos componentes. Debido a la multitud de framework web actuales se han elegido varios para su puesta a prueba en la aplicación. Para el procesamiento generalizado de imágenes y el sistema de recogida de metadatos se han codificado dos clases principales. La primera [4.1](#), encargada de la inicialización de los servicios de GoogleStorage y GoogleBigQuery, para los cuales se han codificado métodos para descarga y carga de información respectivamente. Se presenta un método principal para procesar las peticiones al servidor, que modela toda la información que va a ser incluida en la base de datos. Esta información consta de los siguientes campos :

- Nombre de la imagen
- Tipo de archivo, que especifica el formato del fichero.

- Fecha exacta de creación del archivo en el sistema de almacenamiento.
- Clasificación de la imagen, para saber si el terreno de esta está dañado o no.
- Tiempo de inferencia en la red. En este caso dependerá de si estamos usando opencv o tensorflow para realizar esta tarea.
- Tiempo total de ejecución desde que se llega una petición al servidor hasta que se procesa.
- Número de núcleos físicos del procesador.
- Número de núcleos virtuales del procesador.
- Sistema operativo
- Versión del sistema operativo.
- Memoria ram del sistema.
- Sistema de inferencia, en este caso puede ser opencv o tensorflow.
- Framework web utilizado, flask o fastapi en esta aplicación.
- Campo booleano para determinar si se está usando docker para encapsular la aplicación. Para realizar las pruebas siempre se ha usado docker.
- Campo booleano para saber si la aplicación se está ejecutando en un entorno local o en cloud. En este caso siempre se ejecuta la aplicación en un entorno cloud.

La segunda refclase clase es la encargada de generar y recabar toda esta información para que la clase Api pueda procesarla. Se ha hecho uso de las librerías de psutil <sup>2</sup> y platform <https://docs.python.org/3/library/platform.html> para conseguir la información necesaria del sistema. Contamos de manera adicional con un método de conversión de unidades para

---

<sup>2</sup><https://pypi.org/project/psutil/>

Listing 4.1: *Api*

---

```
1  class Api:
2  def __init__(self, net, sys: SystemTrack):
3      self.__storage = GoogleStorage()
4      self.__big_query = GoogleBigQuery()
5      self.__net = net
6      self.sys_track = sys
7
8  def cloud_storage_request(self, item: dict):
9      start = time.time()
10     image_name = item['name']
11     size = item['size']
12     file_type = item['contentType']
13     time_created = item['timeCreated']
14     image_path = f'{data_dir}{image_name}'
15     self.__storage.download_blob(bucket, image_name, image_path)
16     prediction, inference_time = self.__net.process_image(image_path)
17     total_time = time.time() - start
18     row = [
19         (
20             image_name, size, file_type,
21             time_created, prediction, inference_time,
22             total_time, self.sys_track.physical_cores,
23             self.sys_track.total_cores, self.sys_track.system, self.sys_track.processor,
24             self.sys_track.system_memory,
25             self.sys_track.system_memory_available,
26             self.sys_track.so_version, self.sys_track.so_release, self.sys_track.inference_engine,
27             self.sys_track.web_engine, self.sys_track.processor_unit,
28             self.sys_track.docker, self.sys_track.cloud
29         )
30     ]
31     self.__big_query.insert_row(row)
32     os.remove(image_path)
```

---

normalizar los datos a un estándar preestablecido. Este objeto de tipo SystemTrack es el que será enviado por argumento a la clase Api, la cual procesará todos estos datos.

Listing 4.2: *Api*

---

```
1 class SystemTrack:
2     def __init__(self, docker: bool, inference_engine: str, web_engine: str, cloud: bool, processor_unit: str):
3         self.sys_information = platform.uname()
4         self.sys_memory = psutil.virtual_memory()
5         self.physical_cores = psutil.cpu_count(logical=False)
6         self.total_cores = psutil.cpu_count(logical=True)
7         self.system = self.sys_information.system
8         self.processor = self.sys_information.processor
9         self.system_memory = self.__get_size(self.sys_memory.total)
10        self.system_memory_available = self.__get_size(self.sys_memory.available)
11        self.so_version = self.sys_information.version
12        self.so_release = self.sys_information.release
13
14        self.docker = docker
15        self.inference_engine = inference_engine
16        self.web_engine = web_engine
17        self.cloud = cloud
18        self.processor_unit = processor_unit
19
20    @staticmethod
21    def __get_size(num_bytes, suffix="B"):
22        factor = 1024
23        for unit in ['', 'K', 'M', 'G', 'T', 'P']:
24            if num_bytes < factor:
25                return f'{num_bytes:.2f}{unit}{suffix}'
26        num_bytes /= factor
```

---

### 4.2.1. Framework FastApi

FastApi <sup>3</sup> es un framework web de alto rendimiento preparado para su puesta en producción. Las características principales de este framework son las siguientes :

- Desarrollo rápido debido a la arquitectura de componentes del framework.
- Documentación detallada para componente.
- Incorpora un sistema de tipado de objetos para su fácil identificación.

---

<sup>3</sup><https://fastapi.tiangolo.com/>

- Estándar OpenApi<sup>4</sup> para la especificación del formato de las peticiones entrantes y las respuestas del servidor.

Para soportar este framework se usará Uvicorn <sup>5</sup> como servidor ASGI <sup>6</sup> (Asynchronous Server Gateway Interface), lo que significa que el servidor puede procesar tanto peticiones asíncronas como síncronas. Además, nos proporcionará las herramientas necesarias para paralelizar la carga de las peticiones entre los distintos nodos e hilos de la aplicación, adicionalmente se dispondrán de opciones de configuración de certificados SSL, logs y puerto por el que funciona la aplicación dentro del host. Este servidor soporta actualmente el protocolo de transmisión de datos HTTP/1.1 y está preparado para recibir peticiones asíncronas. Este software es de código abierto y podemos encontrar su código fuente en su repositorio oficial

#### 4.2.2. Framework Flask

Flask <sup>7</sup> es el framework ligero por excelencia de Python , está desarrollado de manera sencilla y ligera, diferenciándose así de otros frameworks pesados como Django, que incluyen muchas dependencias y acaban ocupando mucho espacio en disco y en memoria.

A diferencia de FastAPI Flask se centra en la simplicidad de sus elementos y dota a sus usuarios de una serie de interfaces y decoradores simples para su codificación. Como servidor web se usará Gunicorn <sup>8</sup> que sigue el estándar WSGI <sup>9</sup> (Web Server Gateway Interface), que es una convención simple para gestionar llamadas síncronas al servidor. Con este servidor podremos seleccionar la paralelización y distribución de carga del procesador.

---

<sup>4</sup><https://github.com/OAI/OpenAPI-Specification>

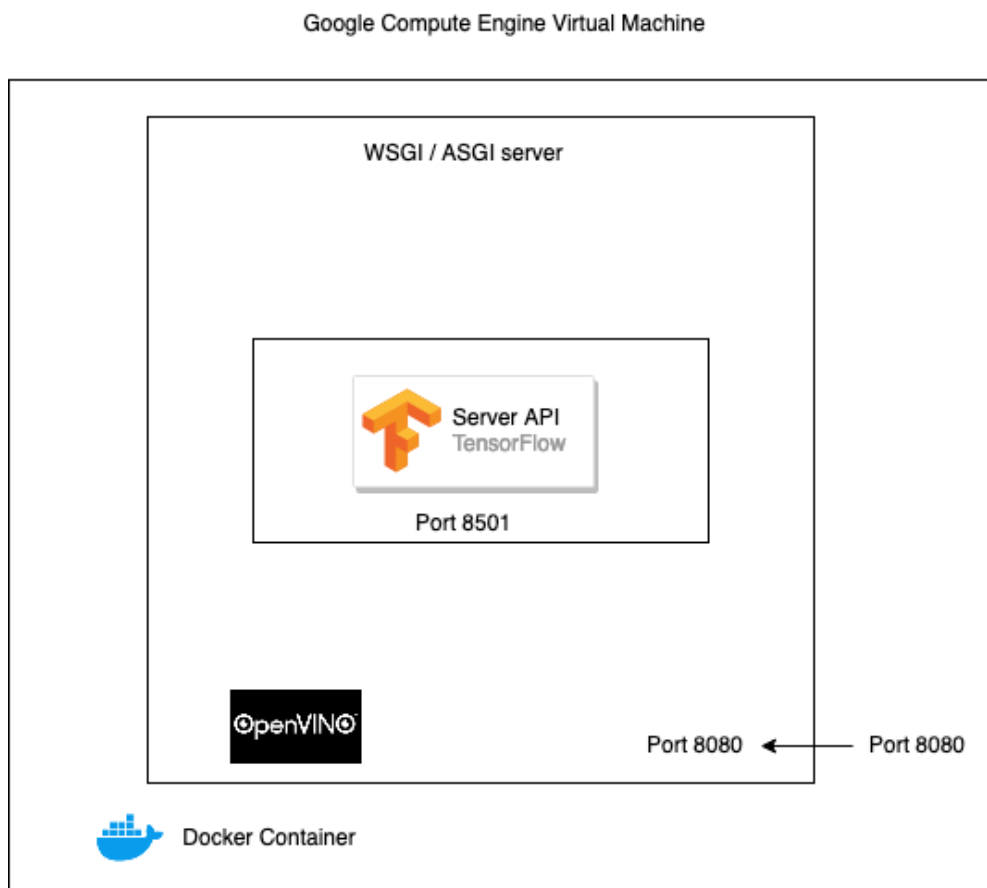
<sup>5</sup><https://www.uvicorn.org/>

<sup>6</sup><https://asgi.readthedocs.io/en/latest/>

<sup>7</sup><https://flask.palletsprojects.com/en/1.1.x/>

<sup>8</sup><https://gunicorn.org/>

<sup>9</sup>[https://en.wikipedia.org/wiki/Web\\_Server\\_Gateway\\_Interface](https://en.wikipedia.org/wiki/Web_Server_Gateway_Interface)



**Figura 4.2:** *Arquitectura de la máquina virtual de la aplicación*

### 4.3. Encapsulación de entorno con Docker

En la siguiente figura 4.2 podemos observar la arquitectura para ambos frameworks que se desplegarán en las máquinas virtuales de Google.

Buscando la máxima portabilidad entre entornos y no cerrar la posibilidad de traslado de estas a otra plataforma se han encapsulado todas las aplicaciones usando la tecnología de contenedores docker <sup>10</sup>. Este contenedor de docker se conectará con el host mediante el puerto 8080, permitiendo así el tráfico de información. Dentro del mismo se levantarán los correspondientes servidores WSGI o ASGI dependiendo de si estamos usando flask o fastapi respectivamente. Es necesario clarificar que nunca habrá dos servidores activos al mismo

---

<sup>10</sup><https://www.docker.com/>



tiempo, por lo que se dispondrán de distintas versiones de las aplicaciones en el registro de contenedores preparadas para usar cada servidor de manera independiente. Dentro de estos contenedores y dependiendo de la aplicación a usar se puede encontrar directamente la aplicación de inferencia de Openvino, la cual funcionará de manera directa o por el contrario, si usamos tensorflow tendremos otro servidor rest api que procesará las peticiones dentro del contenedor por el puerto 8501. De igual modo que los servidores nunca existirá la posibilidad de tener instalados en el mismo servidor openvino y tensorflow a la vez, independizando su uso según los requisitos y necesidades del usuario. Se han versionado las siguientes imágenes para la aplicación :

- Imagen para la aplicación de entrenamiento del modelo de deep learning, que ha sido utilizada para realizar pruebas de concepto en un entorno de desarrollo local antes de usar su funcionalidad interna en Google Colab. Se ha encontrado útil su uso debido a que el proceso de desarrollo se ha llevado a cabo en distintos entornos y sistemas operativos como MacOS, Windows o Linux dependiendo de las necesidades del programador.
- Imagen para la red de inferencia de openvino, que contiene las librerías necesarias para su ejecución y puesta en producción.
- Imagen para la red de inferencia de tensorflow, configurando el servidor interno que proporciona las inferencias al contenedor, y este, a la base de datos.

Para la construcción de estas imágenes se han codificado de manera explícita cada una de ellas y constan en el repositorio de este trabajo <sup>11</sup> En la configuración de estas se especifican los siguientes puntos :

- Sistema operativo base o imagen de la que hereda el contenedor.
- Puertos necesarios para ejecutar la aplicación, que son expuestos al exterior.

---

<sup>11</sup><https://github.com/A-Ortiz-L/multispectral-imaging-cnn-final-degree-work/tree/master/docker>

- Paquetes y actualizaciones del sistema operativo necesarios para funcionar.
- Librerías de python.
- Variables de entorno del sistema operativo.
- Código y ficheros que se van a incluir en la imagen.

Como herramienta adicional y enlazada al uso de docker se ha utilizado docker compose<sup>12</sup> para las pruebas de funcionamiento y testeo de todas estas imágenes. Con esta aplicación podemos describir exactamente cómo se va a ejecutar cada una de las imágenes de docker y los comandos que queremos que se ejecuten de manera automática al iniciarse el contenedor.

---

<sup>12</sup><https://docs.docker.com/compose/>

# Capítulo 5

## Resultados experimentales

### 5.1. Dataset usado

Para el entrenamiento del modelo de deep learning se ha usado un conjunto de datos de 268 imágenes RGB. En cuanto a la muestra presentada en el estudio de las métricas de inferencia y pruebas de carga se han cargado 16.000 imágenes en el sistema de almacenamiento que han sido procesadas en el entorno productivo de la aplicación. La razón por la que el tamaño de la muestra es mucho mayor que el las imágenes de origen es porque se han cargado de manera repetida muchas imágenes para poner el sistema con muchas peticiones concurrentes. La división del conjunto de datos es la siguiente :

- 2000 muestras con un procesador de 2 núcleos virtuales 4 hilos usando flask y Tensorflow.
- 2000 muestras con un procesador de 2 núcleos virtuales 4 hilos usando fastapi y Tensorflow.
- 2000 muestras con un procesador de 4 núcleos virtuales 8 hilos usando fastapi y Tensorflow.
- 2000 muestras con un procesador de 4 núcleos virtuales 8 hilos usando flask y Tensorflow.

- 2000 muestras con un procesador de 2 núcleos virtuales 4 hilos usando flask y OpenVINO.
- 2000 muestras con un procesador de 2 núcleos virtuales 4 hilos usando fastapi y OpenVINO.
- 2000 muestras con un procesador de 4 núcleos virtuales 8 hilos usando flask y OpenVINO.
- 2000 muestras con un procesador de 4 núcleos virtuales 8 hilos usando fastapi y OpenVINO.

Estas imágenes han sido testeadas por los distintos entornos productivos, sistemas de inferencia y frameworks web. La carga de las imágenes al sistema de almacenamiento se ha realizado de manera paralela gracias al soporte multi-threading de Google Storage, el equipo que ha realizado la carga tiene como hardware principal los siguientes componentes :

- Procesador AMD Ryzen 5-3600 4.2Ghz ( 6 núcleos físicos 12 hilos)
- 16 GB de Ram a 3200 MHz DDR4.
- Conexión a internet de fibra óptica simétrica de 600 MB.

El análisis y comparativa de los resultados han sido analizada en la base de datos distribuida BigQuery, haciendo uso de SQL estándar.

## 5.2. Rendimiento en fase de entrenamiento

Para obtener los resultados de este experimento se ha usado el hardware disponible en la plataforma de Google Colab, usando como comparativa :

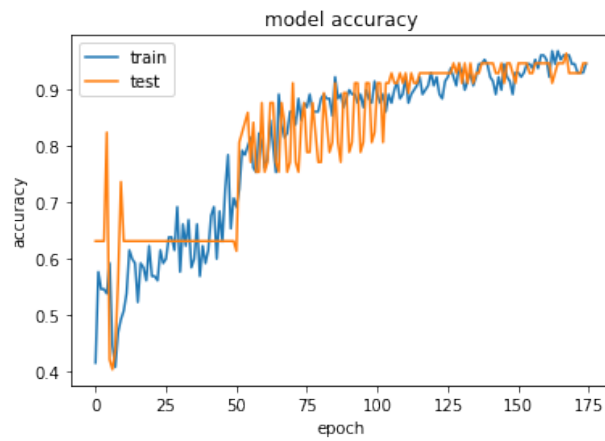
- Entrenamiento usando un processador Intel(R) Xeon(R) CPU @ 2.30GHz
- Entrenamiento con una gpu TeslaK80

El tiempo total de entrenamiento utilizando la cpu ha sido de 11 minutos. El nivel de acierto de clasificación en ambas redes super el 85 por ciento en el conjunto de datos de prueba. El resultado más fiable y rápido utilizando la TeslaK80 ha sido una configuración en la red neuronal de 175 epochs y 256 de tamaño de batch. El modelo ha sido entrenado con los siguientes hiperparámetros para conseguir el máximo nivel de precisión en el mínimo tiempo posible.

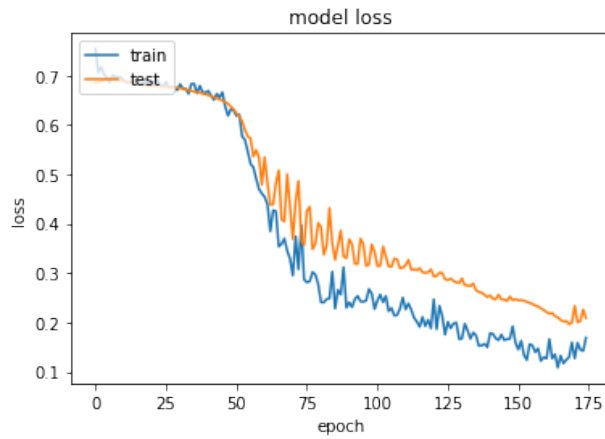
- **175 Epochs, 256 Batch-size:** Con un tiempo total de entrenamiento de 25.86 segundos y una precisión del 93 % sobre el conjunto de datos de entrenamiento. Ver figura 5.1 para los resultados de entrenamiento y la figura 5.2 para los resultados de pérdida del modelo .
- **100 Epochs, 256 Batch-size:** Con un tiempo total de entrenamiento de 16.79 segundos y una precisión del 85 % sobre el conjunto de datos de entrenamiento. Ver figura 5.3 para los resultados de entrenamiento y la figura 5.4 para los resultados de pérdida.
- **200 Epochs, 256 Batch-size:** Con un tiempo total de entrenamiento de 29.94 segundos y una precisión del 87 % sobre el conjunto de datos de entrenamiento. figura 5.5 para los resultados de entrenamiento y la figura 5.6 para los resultados de pérdida.

### 5.3. Rendimiento en fase de inferencias

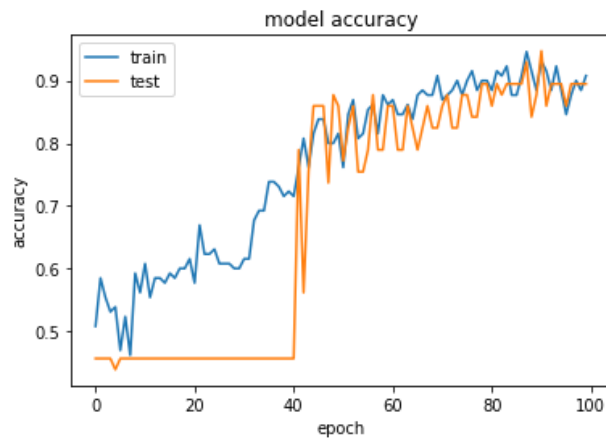
En cuanto a los tiempos de inferencia, la diferencia es notable entre OpenVINO y Tensorflow. Los resultados se presentan haciendo uso de una muestra de 16.000 ejecuciones de inferencia en el entorno de producción de la aplicación, tanto para los entornos con Openvino, como para Tensorflow. La unidad de cálculo principal es el procesador, siendo su modelo un Intel Xeon (Cascada Lake) con una frecuencia de 2.8 GHz de base y un turbo hasta 3.4 GHz. Se han probado distintas configuraciones de este procesador, tanto en su versión de 2 núcleos físicos, 4 virtuales como en la de 4 núcleos físicos, 8 virtuales. La memoria ram



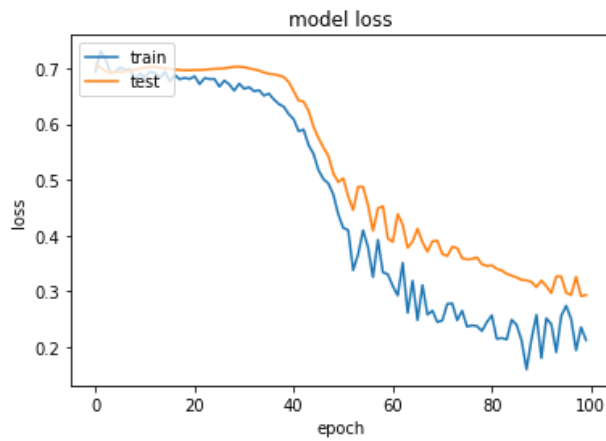
**Figura 5.1:** Rendimiento del modelo en acierto usando una gpu TeslaK80 y una configuración de entrenamiento de 175 epoch y un tamaño batch de 256.



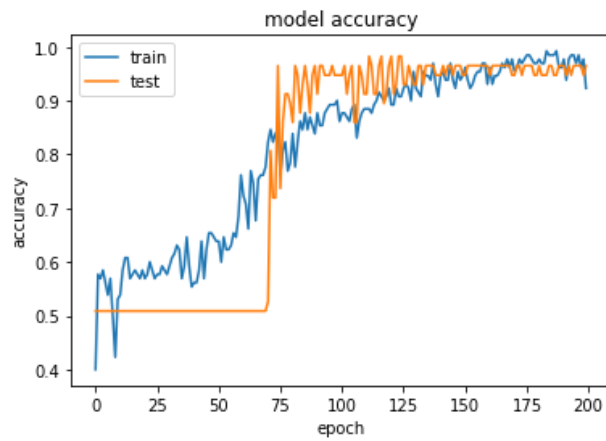
**Figura 5.2:** Rendimiento del modelo en pérdida al entrenar con una TeslaK80 y una configuración de entrenamiento de 175 epoch y un tamaño batch de 256.



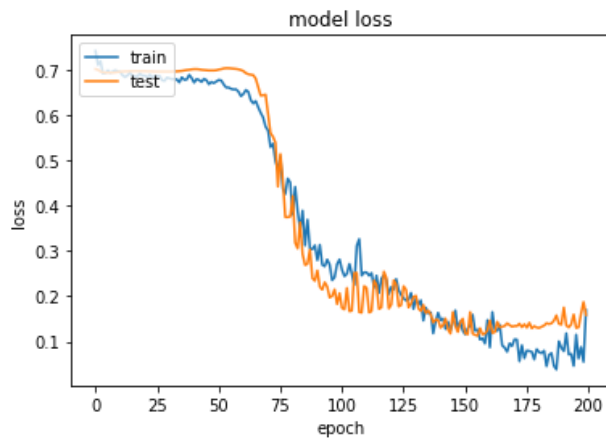
**Figura 5.3:** Rendimiento del modelo en acierto usando una gpu TeslaK80 y una configuración de entrenamiento de 100 epoch y un tamaño batch de 256.



**Figura 5.4:** Rendimiento del modelo en pérdida al entrenar con una TeslaK80 y una configuración de entrenamiento de 100 epoch y un tamaño batch de 256.



**Figura 5.5:** Rendimiento del modelo en acierto usando una gpu TeslaK80 y una configuración de entrenamiento de 200 epoch y un tamaño batch de 256.



**Figura 5.6:** Rendimiento del modelo en pérdida al entrenar con una TeslaK80 y una configuración de entrenamiento de 200 epoch y un tamaño batch de 256.



inference_engine	avg_seconds_inference_time	avg_seconds_total_execution_time
tensorflow	0.215	0.502
openvino	0.004	0.098

**Figura 5.7:** *Comparativa de tiempos de inferencia con OpenVINO y Tensorflow*

utilizada varía de 4 GB en su primera versión junto con el procesador de 2 núcleos físicos a 8 GB en la versión de 4 núcleos físicos. En la figura 5.7 se puede observar como la media de inferencia a lo largo de las 16.000 muestras tomadas es de 200ms para Tensorflow y 4ms para OpenVINO lo que supone una velocidad de inferencia 50 veces superior de OpenVINO frente a Tensorflow. También podemos visualizar en la imagen 5.8 que el tiempo total de inferencia, que incluye la latencia del servidor web, los pipelines de procesamiento del entorno y la propia inferencia es inferior al segundo en ambos casos, pero muy inferior en OpenVINO debido a la rapidez de su red de inferencia y a la simplicidad con la que se implementa, ya que, al contrario que Tensorflow esta no necesita ningún otro tipo de servicio adicional más que la API de alto rendimiento que funciona como una librería almacenada de manera local en el sistema operativo. Las distintas configuraciones hardware también revelan que el consumo de memoria del sistema de inferencia de tensorflow afecta al rendimiento de la aplicación, mejorando mucho su rendimiento con un hardware más potente. OpenVINO por el contrario mantiene resultados similares con un hardware de bajo coste. Tensorflow mejora en 5 veces la velocidad de inferencia pasando de un procesador de 2 núcleos y 4 GB de ram a uno de 4 núcleos y 8 GB de ram teniendo un tiempo de 360ms con el primero y 66 con el segundo, lo que denota que el consumo de su servicio de inferencia requiere de un hardware más caro. Del mismo modo mejora 8 veces su tiempo de inferencia total con la mejora del hardware pasando de 800ms a 97ms.

La puesta a prueba de los distintos servidores web se ha llevado a cabo mediante la configuración de estos para trabajar de manera concurrente usando todos los núcleos del procesador, de modo que la capacidad de procesamiento de peticiones sea la máxima posi-

inference_engine	physical_core	total_core	system_memory	avg_seconds_inference_time	avg_seconds_total_execution_time
tensorflow	4	8	7.00GB	0.066	0.188
openvino	4	8	7.00GB	0.003	0.1
openvino	2	4	3.46GB	0.005	0.097
tensorflow	2	4	3.46GB	0.364	0.816

**Figura 5.8:** Comparativa de tiempos de inferencia con OpenVINO y Tensorflow con distinto hardware

ble. En la figura 5.10 podemos contemplar que OpenVINO se mantiene estable con ambos framework, con un ligero aumento de la latencia haciendo uso de fastapi. Tensorflow se comporta mucho mejor con flask, mejorando en 4 veces su tiempo de inferencia en la red, pasando de 348ms con fastapi a 83ms con flask y 3.7 veces en el tiempo total de ejecución teniendo un rendimiento de 700ms con fastapi a 200ms con flask. Flask es un servidor web con los mínimos componentes para funcionar, pero configurado de la manera correcta puede ser el framework perfecto para realizar una tarea específica, en este caso la complejidad del servicio de Tensorflow convive mejor con un framework web sin demasiados componentes adicionales. Es cierto que los componentes que proporciona fastapi como un sistema de logging detallado de las ejecuciones y algunas características adicionales para el desarrollador pueden causar cierto aumento de la latencia en los tiempos, pero cuando la fiabilidad es uno de los requisitos y objetivos principales estas mejoras pueden valer la pena a la hora de escalar nuestra aplicación. En general, fastapi requiere de un hardware más potente para sacar su máximo rendimiento, mientras que con una framework minimalista como flask podemos optar por reducir costes en hardware sin penalizar demasiado el rendimiento. En la figura 5.9 podemos ver el rendimiento según hardware, servidor web y sistema de inferencia utilizado.

El número total de aciertos de clasificación en ambas redes asciende a 1566 registros de un total de 16000, teniendo así un porcentaje de acierto general del 97 por ciento. Con un recuento de 108 fallos en la red tensorflow y 226 en openvino. Todos los resultados y registros se encuentran en el repositorio oficial del trabajo en Github<sup>1</sup>

<sup>1</sup><https://github.com/A-Ortiz-L/multispectral-imaging-cnn-final-degree-work/tree/master/result/snapshot>

inference_engine	physical_core	system_memory	web_engine	avg_seconds_inference_time	avg_seconds_total_execution_time
openvino	2	3.46GB	FastApi	0.006	0.104
openvino	4	7.00GB	FastApi	0.004	0.102
tensorflow	2	3.46GB	FastApi	0.608	1.349
tensorflow	4	7.00GB	FastApi	0.087	0.235
openvino	2	3.46GB	Flask	0.004	0.09
openvino	4	7.00GB	Flask	0.003	0.098
tensorflow	2	3.46GB	Flask	0.12	0.284
tensorflow	4	7.00GB	Flask	0.045	0.141

**Figura 5.9:** Comparativa de tiempos de inferencia con OpenVINO y Tensorflow con distinto hardware y servidor web

inference_engine	web_engine	avg_seconds_inference_time	avg_seconds_total_execution_time
openvino	Flask	0.004	0.094
openvino	FastApi	0.005	0.103
tensorflow	Flask	0.083	0.212
tensorflow	FastApi	0.348	0.792

**Figura 5.10:** Comparativa de tiempos de inferencia con OpenVINO y Tensorflow con distinto framework web

## 5.4. Costes del proyecto

A continuación se presentan los costes del proyecto de toda la plataforma de producción. Estos costes han sido recogidos haciendo uso de la calculadora de precios de google<sup>2</sup>

- Máquina virtual 4 vCPUs, 3,6 GB 6.80 dólares por un uso de 24 horas, que fue el tiempo utilizado para realizar pruebas de concepto y cargas en este trabajo.
- Máquina virtual 4 vCPUs, 3,6 GB 3.40 dólares por un uso de 24 dólares, que fue el tiempo real consumido para este servicio.
- BigQuery, con un coste de 0 dólares para un almacenamiento de 1 GB de tablas en la base de datos, 1GB de procesamiento en tiempo real y 1GB de trabajos SQL al realizar los análisis de resultados.

<sup>2</sup><https://cloud.google.com/products/calculator?hl=es>

- Pub/Sub con un coste total de 0 dólares, ya que su uso entraba dentro del rango gratuito del servicio.
- Cloud Functions, con un coste total de 0 dólares, haciendo uso de la modalidad gratuita, que permite hasta 2 millones de llamadas al mes.



# Capítulo 6

## Conclusiones y trabajo futuro

### 6.1. Conclusiones

La globalización de internet y el aumento de la población que interactúa con todas las aplicaciones conectados a él tiene como consecuencia la generación de una cantidad infinita de datos que contienen toda la información de los usuarios que las usan. Desde webs, aplicaciones móviles hasta sistemas que interactúan de manera automática sin necesidad de que los usuarios las configuren o las usen. Ámbitos que hace unos pocos años no salían del ámbito académico y de estudio son ahora una necesidad real de mundo. Conforme crecen los datos, crecen las necesidades de análisis y explotación. Plataformas como Google Cloud, Amazon Web Services y similares hacen esto posible debido a toda la potencia autogestionada de cómputo que brindan a los usuarios. Del mismo modo, nacen nuevas tecnologías de análisis específicas para estos datos. Tecnologías como Tensorflow u OpenVINO pertenecen ambas a empresas comerciales como Google o Intel, sin embargo la creciente comunidad que hace uso de estas herramientas de tal tamaño, que estas aplicaciones se han convertido al formato de código abierto, como hizo Google con Tensorflow, o directamente son gratuitas desde su lanzamiento, como OpenVINO. Es la propia comunidad la que reporta errores, propone actualizaciones o codifica directamente nuevas soluciones para incorporar. La competitividad entre todas estas soluciones impulsa una mejora constante en todas ellas.

## 6.2. Trabajo futuro

La plataforma se ha configurado de manera que su capacidad de procesamiento de peticiones sea escalable, esto es, porque el uso de la tecnología de contenedores docker está preparada para su integración en la solución de cluster Kubernetes<sup>1</sup>. La visualización de resultados en este trabajo ha sido visualizada mediante los trabajos SQL realizados en la base de datos, pero sería ideal poder contemplar los datos de una manera más intuitiva. Docker nos permite portar fácilmente esta solución de contenedores a otros sistemas con distinto hardware, en consecuencia, puede funcionar de manera local sin tener una plataforma web o cloud que la soporte. La clasificación podría producirse dentro del propio elemento que genera las imágenes, lo que eliminaría el tiempo de latencia de otros elementos adicionales. En nuestro problema un vehículo aéreo podría portar el propio hardware de clasificación y sobrevolar el terreno dañado para clasificar las imágenes que va recogiendo. Este sistema sería similar a opciones que ya se pueden encontrar en el mercado, como las AWS DeepLens <https://aws.amazon.com/es/deeplens/> de Amazon. Los datos de este trabajo son imágenes RGB de una parte del planeta, por lo que tienen latitud y longitud exactas, la técnica de visionado Heatmap<sup>2</sup> es la idónea para ver en tiempo real las zonas del terreno más afectadas por el desastre natural y poder redigir los equipos de emergencia de manera rápida. La configuración de los servidores ingesta las llamadas de manera interna, por lo que no está abierta a peticiones públicas de manera directa. Si se decidiera abrir al público la clasificación de imágenes habría que configurar en los servidores todos los certificados necesarios para funcionar con el protocolo seguro HTTPS y medidas de seguridad contra factores como la denegación de servicio o intento de conexión no deseados a los servidores por los puertos abiertos de la aplicación, en nuestro caso 8080 y 22, que usamos para conectarnos por SSH<sup>3</sup>.

---

<sup>1</sup><https://kubernetes.io/es/docs/concepts/overview/what-is-kubernetes/>

<sup>2</sup>[https://en.wikipedia.org/wiki/Heat\\_map](https://en.wikipedia.org/wiki/Heat_map)

<sup>3</sup>[https://es.wikipedia.org/wiki/Secure\\_shell](https://es.wikipedia.org/wiki/Secure_shell)

# Apéndice A

## Introduction

### A.1. Motivation

A hyperspectral image is a high spectral resolution image obtained through sensors capable of obtaining hundreds or even thousands of images on the same terrestrial area but corresponding to different wavelength channels. The set of spectral bands is not strictly limited to the visible spectrum but also covers the infrared and the ultraviolet.

At present, the use of hyperspectral images is increasing considerably due to the launching of new satellites and the interest in remote observation of the Earth, which has utility in areas as diverse as defense, precision agriculture, geology (detection of mineral deposits), valuation of environmental impacts or even artificial vision.

During the last years there have been many advances with regard to sensor technology, which has revolutionized the collection, handling and analysis of the data collected. This evolution has managed to go from having a few tens of bands to having hundreds and the tendency is for the number to continue increasing. Institutions such as National Aeronautics and Space Administration (NASA) or the European Space Agency (ESA) are continuously obtaining a large amount of data that needs to be processed. As a result, new challenges have arisen in the processing of data.

If we add to the increase in the amount of information collected, many current and future remote observation applications require real-time processing capabilities (in the same time



or less than the satellite takes to capture the data) or close to this real-time, it is essential to use parallel architectures for the efficient [?] and fast processing of this type of images.

The main problem in the processing of hyperspectral images lies in the spectral mixture, that is to say, the existence of mixed pixels in which several different materials coexist at the subpixel level. This type of pixels are the most common in hyperspectral images and for their analysis it is necessary to use complex algorithms with a high computational cost, which makes the execution of the demixing algorithms slow and requires acceleration or parallelization.

To address this type of tasks, parallel computing has been widely used through multi-core processors, GPUs (Graphics Processing Units) or dedicated hardware such as FPGAs (Field-Programmable Gate Arrays). Of all the alternatives, the latter present an efficient option in terms of performance, offering reduced times, in addition to a lesser use of resources, being the few alternatives that can be adapted in a sensor to perform on-board processing in space missions such as Mars Pathfinder or Mars Surveyor [? ].

On the one hand, VHDL or Verilog are the native ways to program this type of devices, at a low level and more optimal. On the other hand, there is an alternative in OpenCL that allows a high level programming, faster and allowing its execution in a variety of architectures but less optimal at the level of hardware resources than in FPGAs devices.

## A.2. Objectives

The general objective of this work is the parallel implementation on FPGA of the Automatic Target Detection and Classification Algorithm [? ? ] making use of the Gram Schmidt Orthogonalization and the programming languages VHDL and OpenCL. This will allow a very interesting comparison between a native language for said platform (VHDL) and another paradigm of parallel programming at a high level (OpenCL) that can be ported to other platforms such as multi-core processors, GPUs or other accelerators.

The achievement of the general objective is carried out in the present memory by ad-

addressing a series of specific objectives, which are listed below:

- Design of individual modules in VHDL that serve to perform all the operations that are needed for the implementation of the ATDCA-GS algorithm.
- Elaboration of a state machine and implementation of the algorithm using the individual modules.
- Analysis and optimization of a previous parallel implementation in OpenCL of the algorithm.
- Obtaining results and performance comparisons between both programming languages.

### A.3. Organization of this memory

Bearing in mind the previous specific objectives, we proceed to describe the organization of the rest of this report, structured in a series of chapters whose contents are described below:

- **Hyperspectral analysis:** the hyperspectral image concept and the linear mixing model are defined; some hyperspectral sensors (AVIRIS and EO-1 Hyperion) and some spectral libraries (USGS and ASTER) are mentioned; and finally, the need for parallelization and platforms that can be used to address the problem of performance improvement is presented.
- **FPGAs technologies:** FPGA technologies are defined in a short way.
- **Implementation:** the algorithm ATDCA-GS in series is defined and the parallelization and optimization that has been carried out in both VHDL and OpenCL languages is explained.

- **Results:** the results obtained after the implementation and execution of the algorithm in FPGAs devices are presented.
- **Conclusions and future work:** the main conclusions of the aspects addressed in the work that have been reached and also some possible lines of future work that can be performed in relation to this work are presented.



# Apéndice B

## Conclusions and future work

### B.1. Conclusions

In this end-of-degree project, the design and implementation of the ATDCA-GS algorithm has been carried out, using Gram Schmidt orthogonalization in order to optimizing and improving the performance of complex operations such as the calculation of the inverse of a matrix. The programming languages VHDL and OpenCL have been used and the results of their execution in FPGA have been evaluated to subsequently make a performance comparison between both alternatives.

As part of the design, an adaptation of the algorithm to the usual flow of a specific hardware design has been carried out, minimizing as much as possible the amount of resources to be used and parallelizing the operations carried out during the execution of the algorithm.

To make a comparison in terms of the performance in time of the two implementations, it has been compared the acceleration of one with respect to the other making use of real and synthetic images. In addition, it has been verified that, except for the implementation in OpenCL for large images, the processing in both alternatives does not exceed the time limit (maximum) and therefore the real-time analysis can be performed, fulfilling one of the main objectives of this project.

The performance tests in terms of resources used in each implementation have revealed that the percentage of resources used increases linearly with the number of bands. It also

revealed that for a large number of them (256), the resource with the highest use hardly reaches 86 % of use in VHDL and 48 % in OpenCL, so it is concluded that the performance is adequate.

## B.2. Lines of future work

In the first place, it would be convenient to improve the implementation optimizations in OpenCL so that it allows a real-time analysis as well as the other alternatives. In addition, since the tendency of the size of the images is to continue growing more and more, the future work option that seems more evident is to be able to process other real images of an even larger size.

A possible future work path for this work would be to develop the algorithm by converting the floating-point arithmetic to whole arithmetic. In this way a better performance would be obtained since the calculations would be even simpler and, therefore, the number of necessary resources would decrease while increasing the clock frequency.

Another possible way of continuation could be the modification of the test platform to use the PCIe 3x8 bus. In this way penalties due to I / O would be reduced.

Finally, another way would be to choose whether the implementation kernels in OpenCL can follow a parallel programming model at task level, so that the task refers to the execution of a kernel with a work-group that contains a work-item and, thus, the compiler tries to accelerate the only work-item to get a better performance.